

Fig. 20

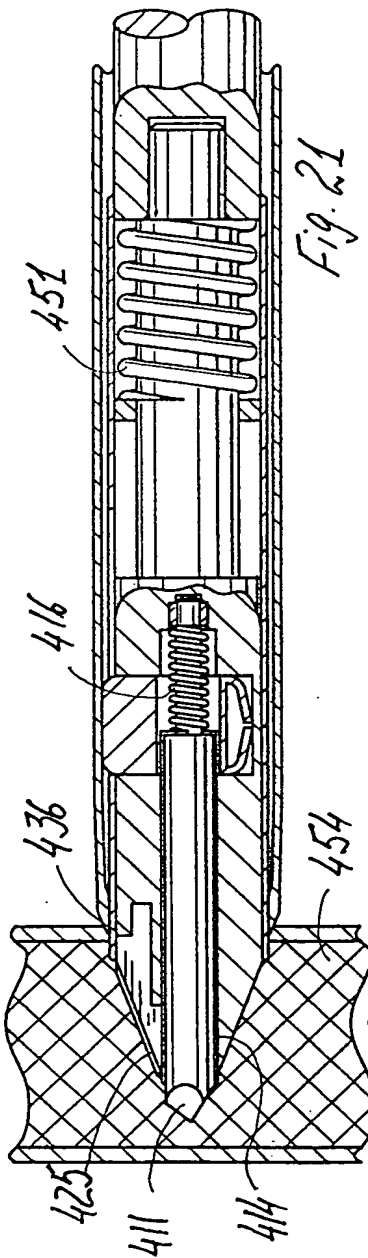


Fig. 21

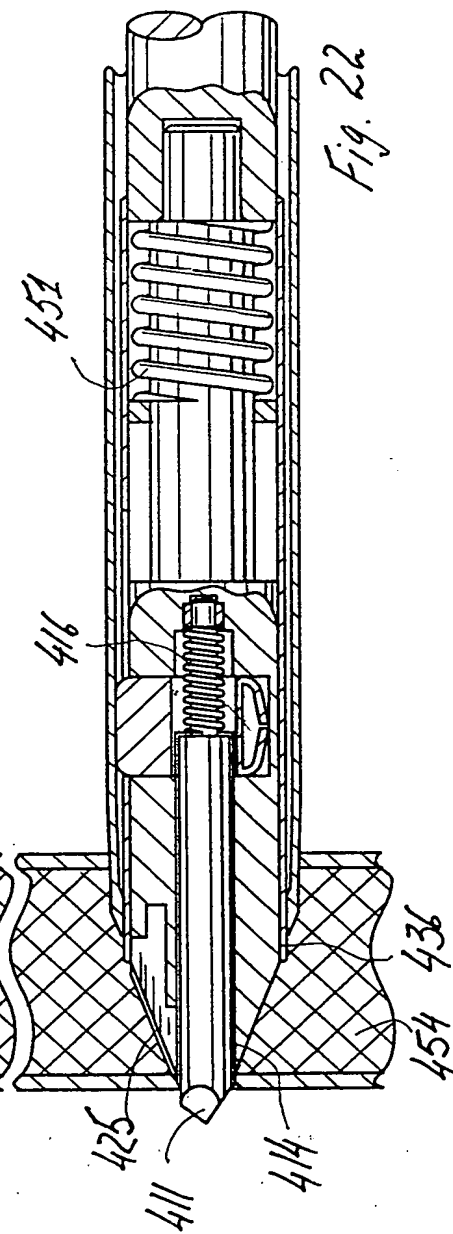
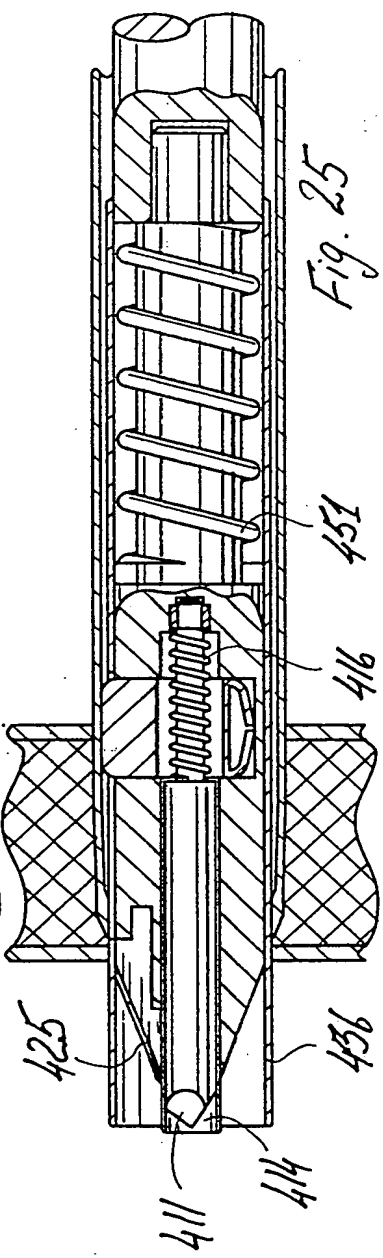
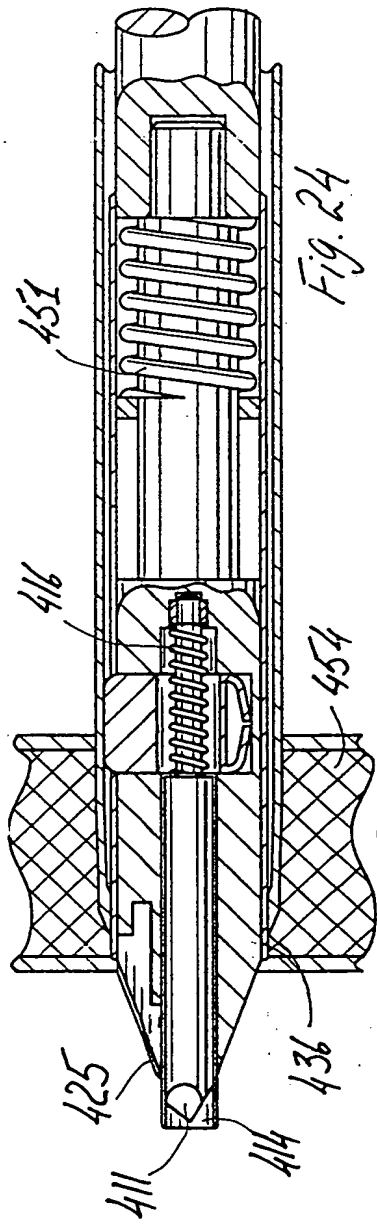
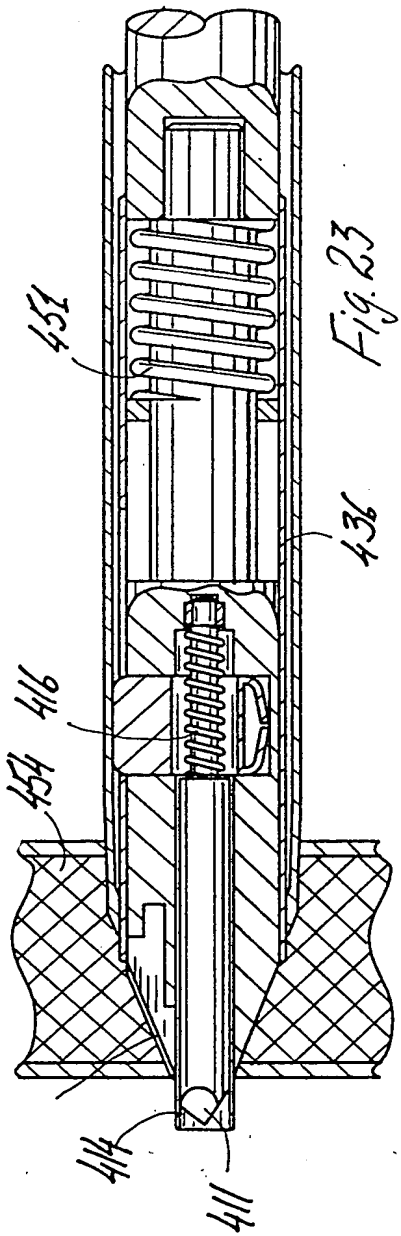


Fig. 22



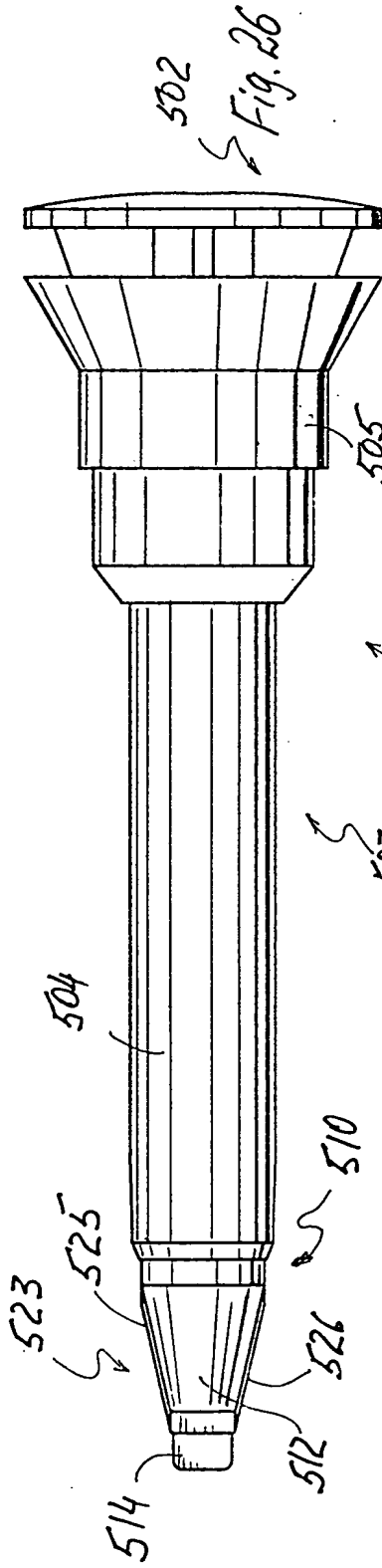


Fig. 26

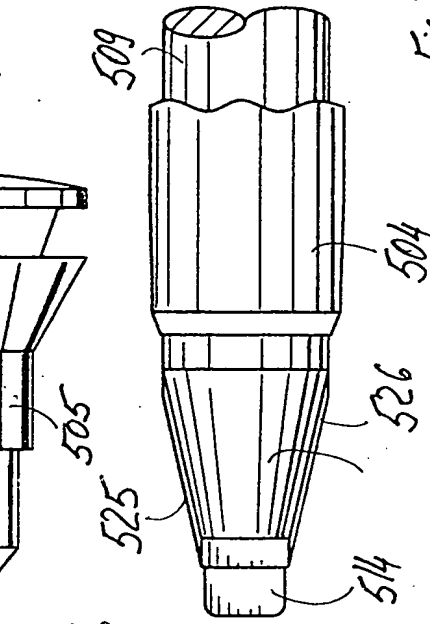


Fig. 27

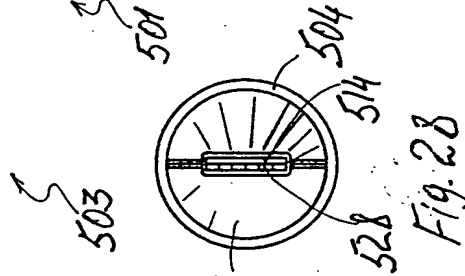


Fig. 28

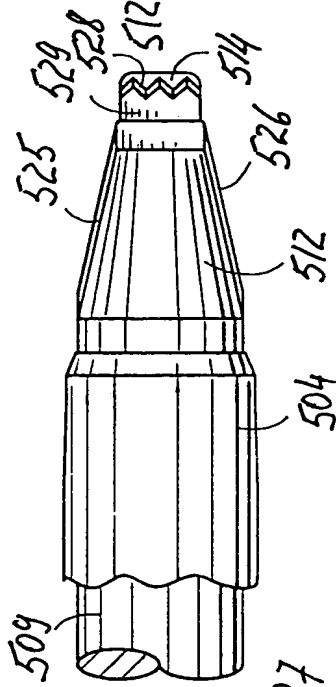


Fig. 29

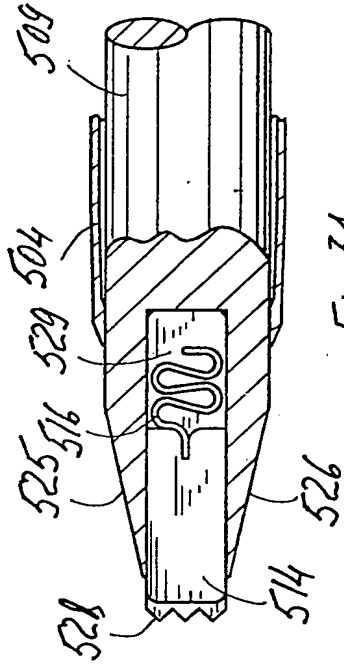


Fig. 30

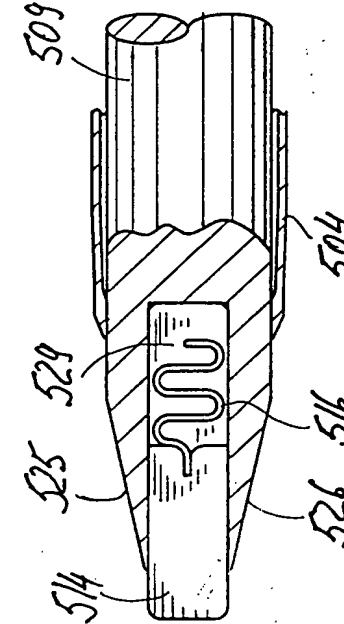
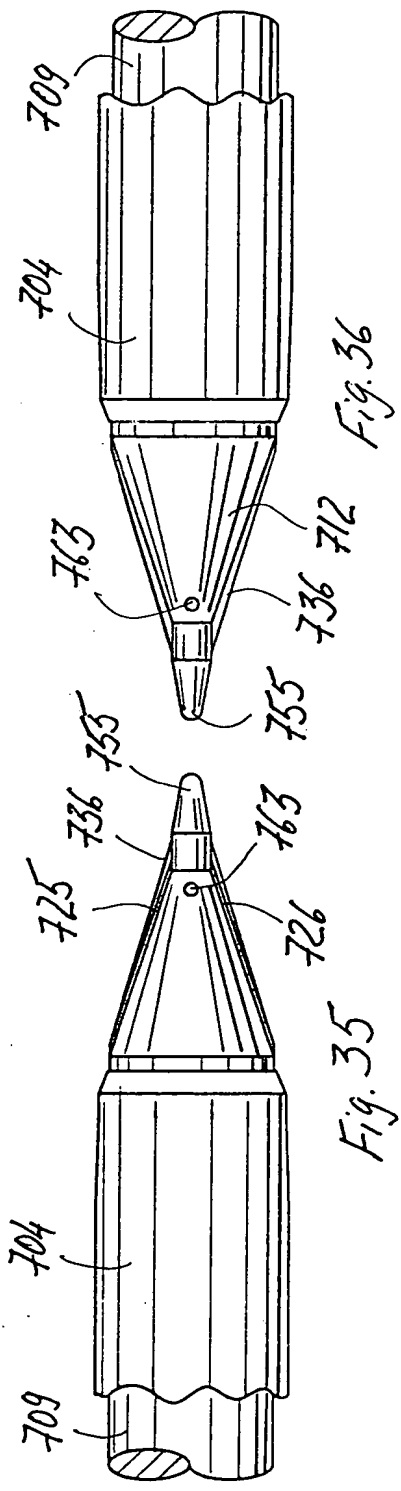
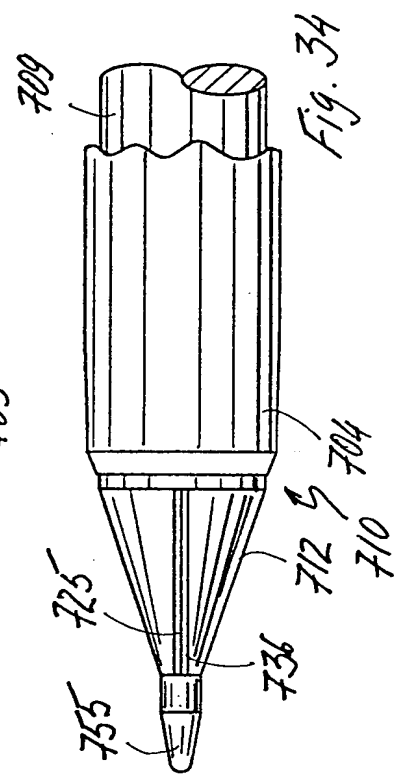
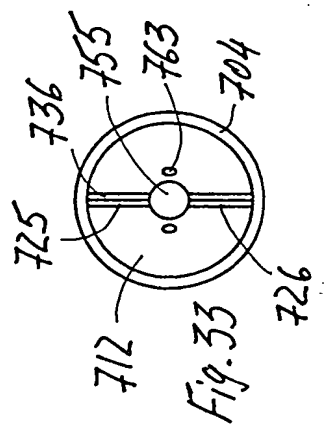
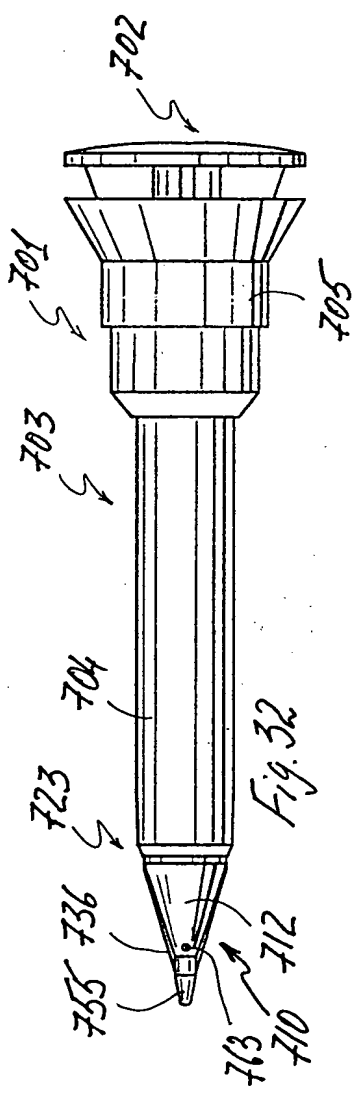
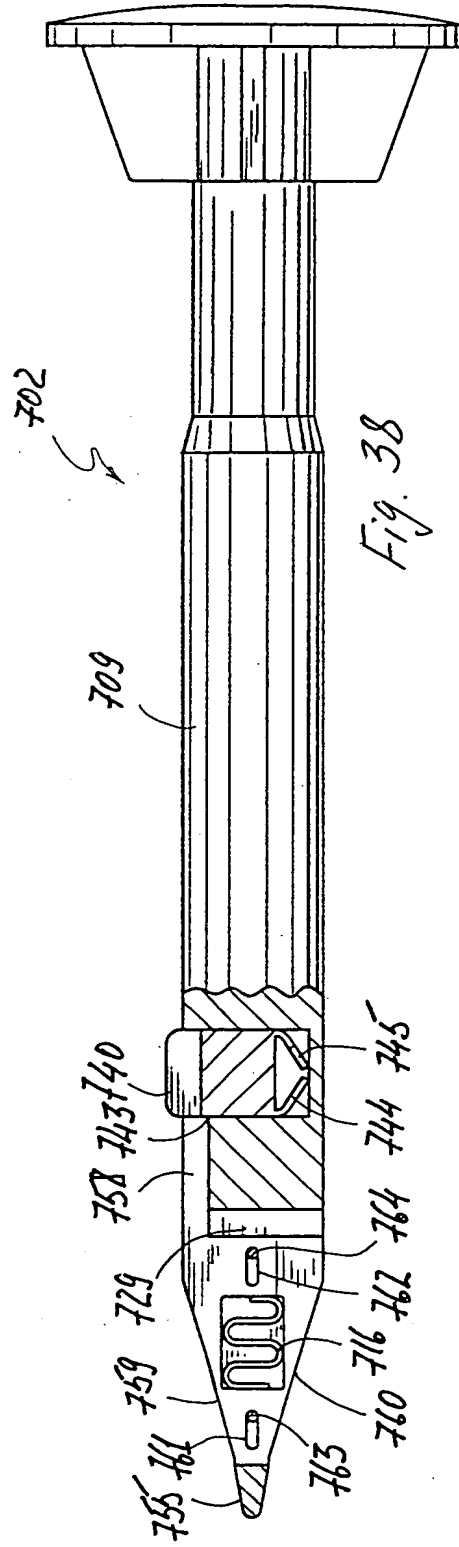
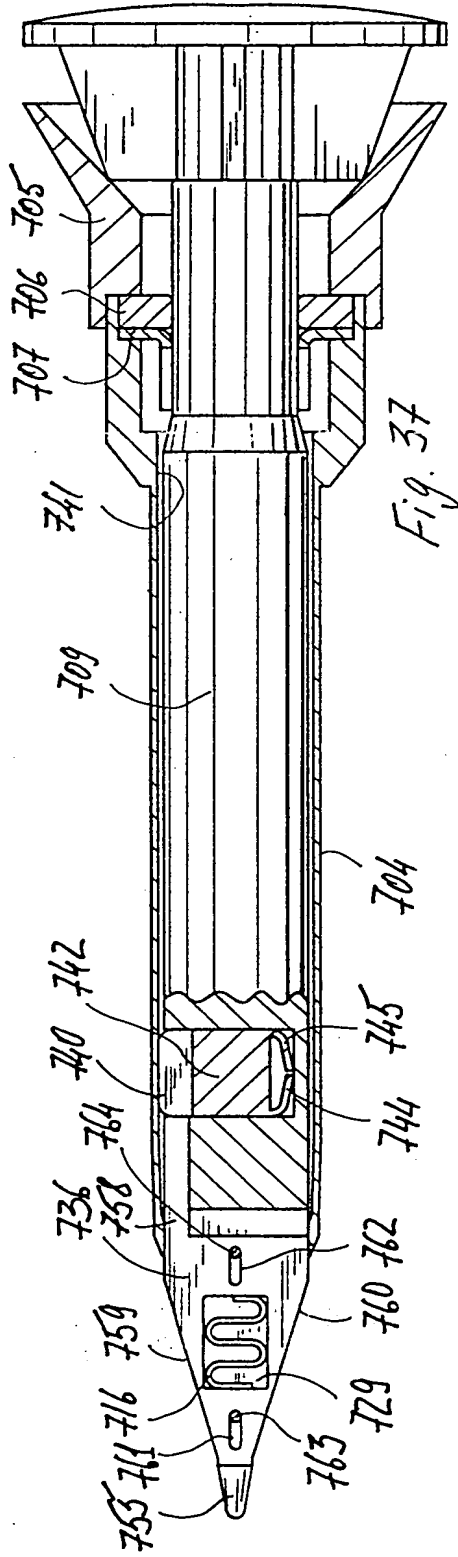


Fig. 31





10/18



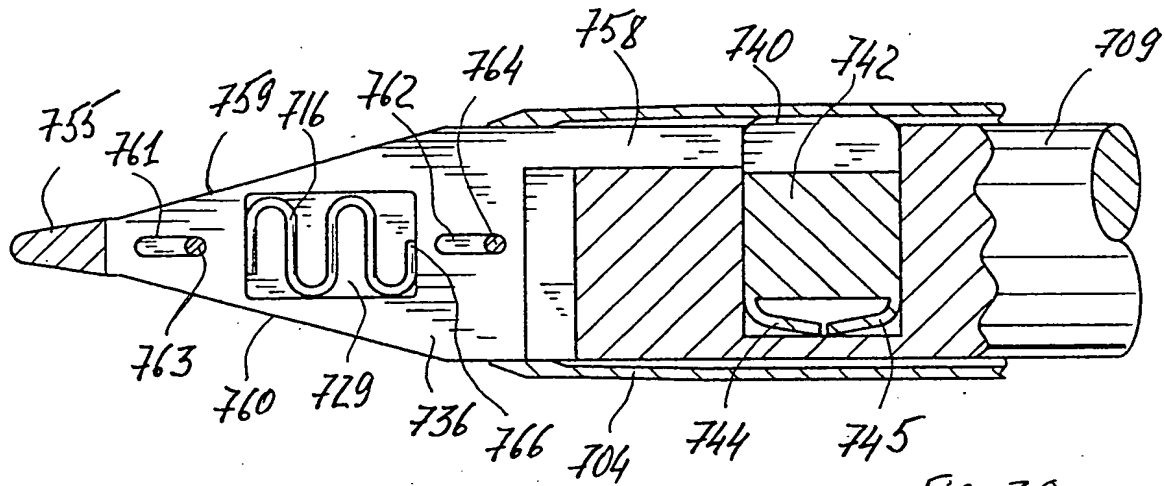


Fig. 39

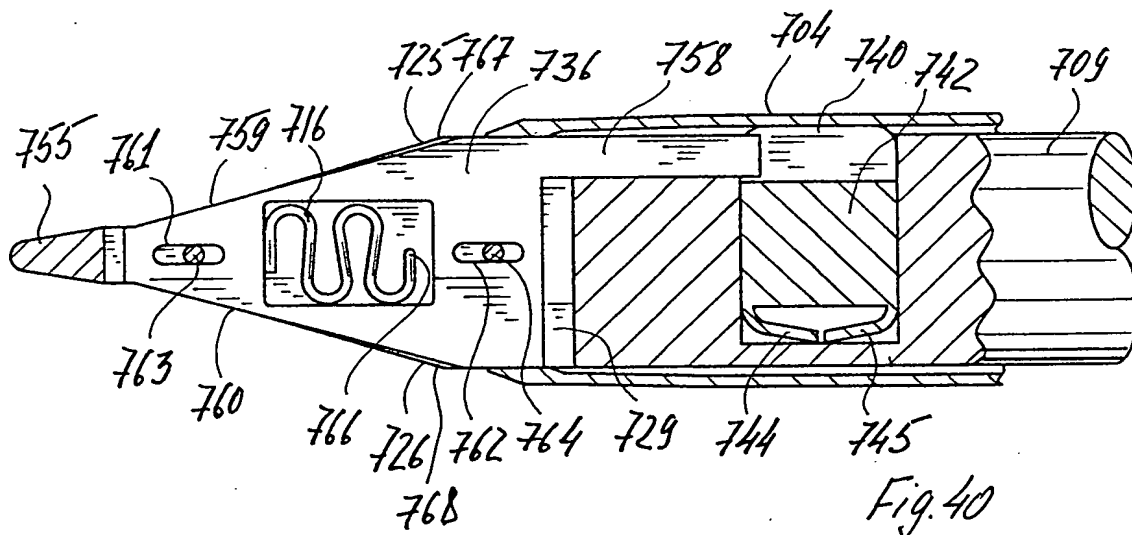


Fig. 40

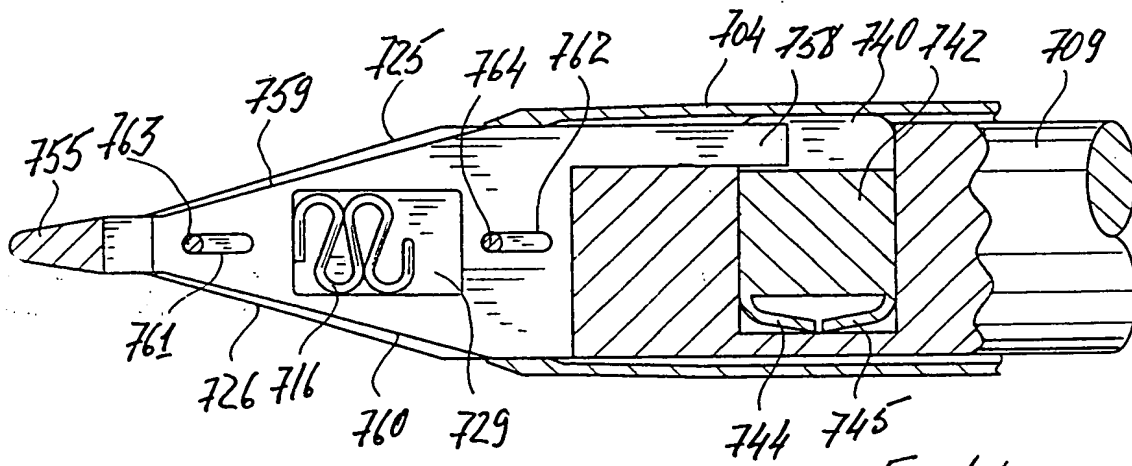
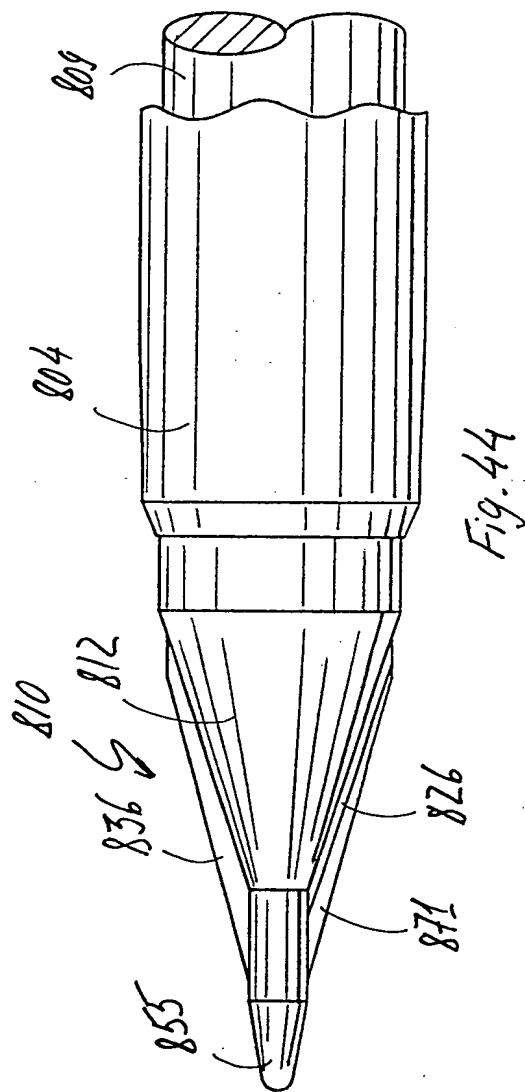
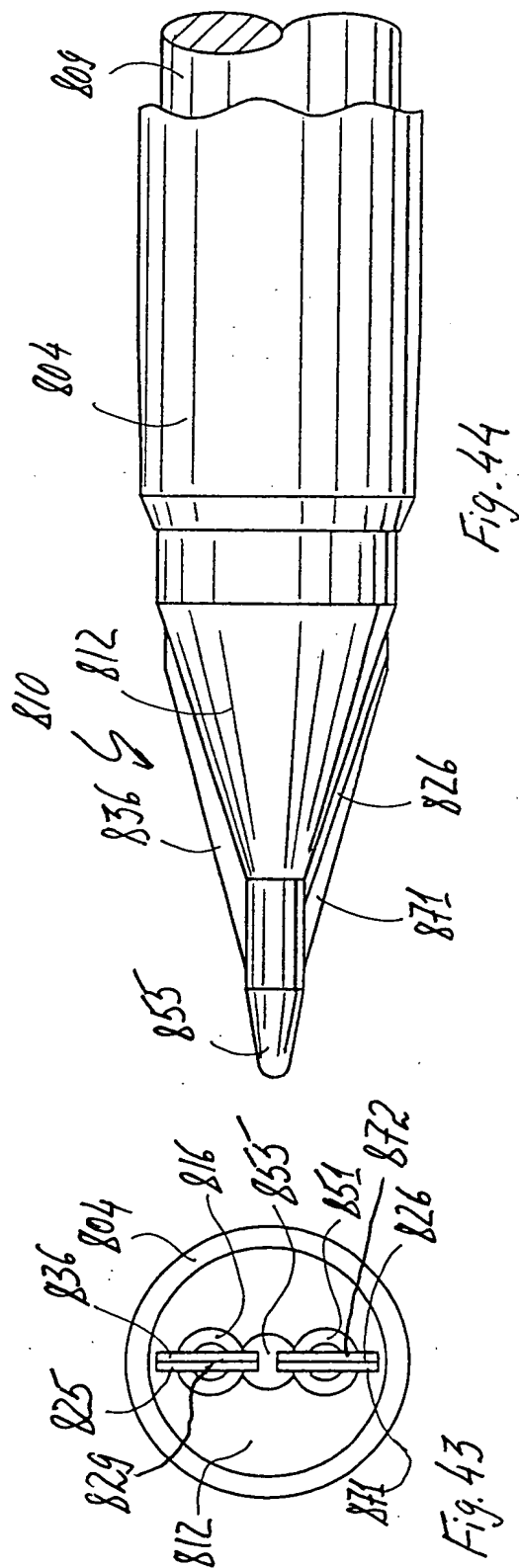
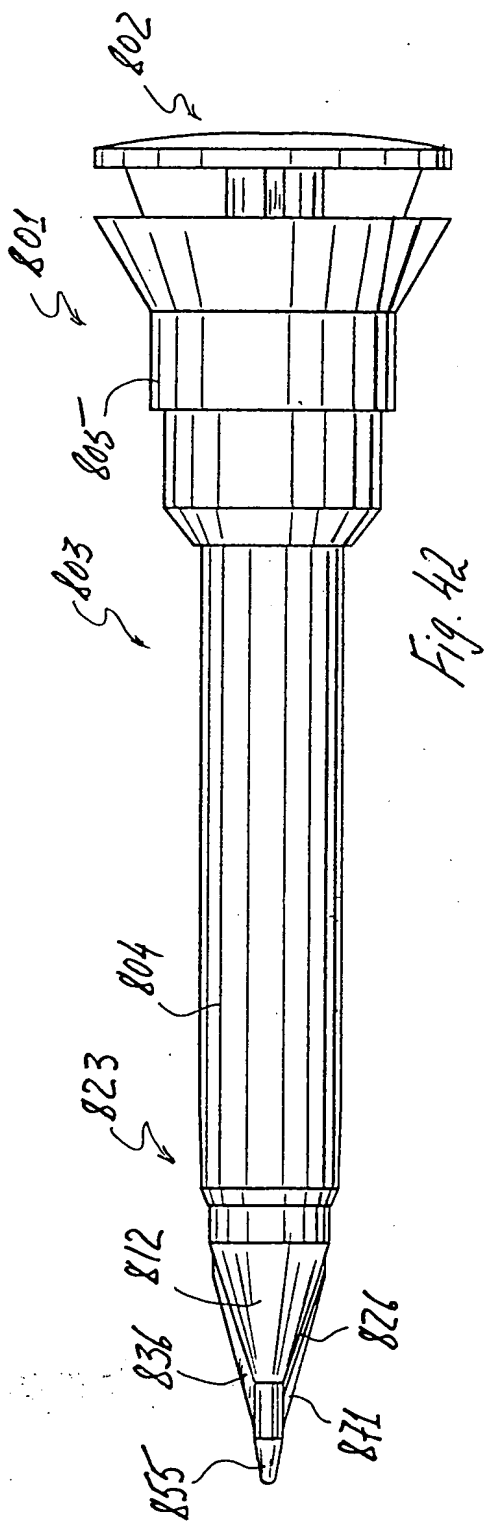
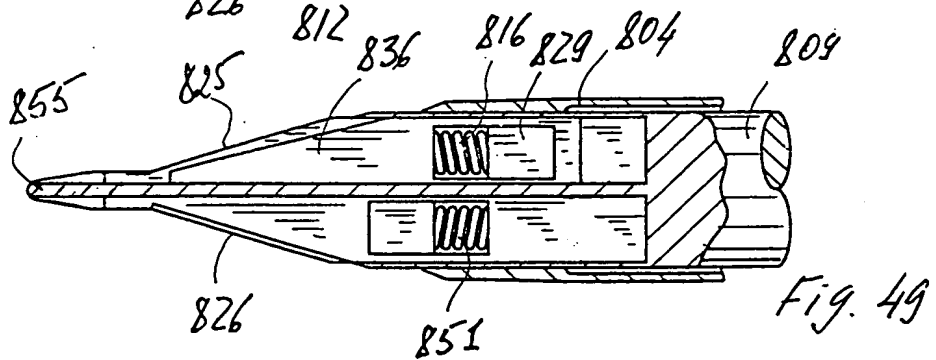
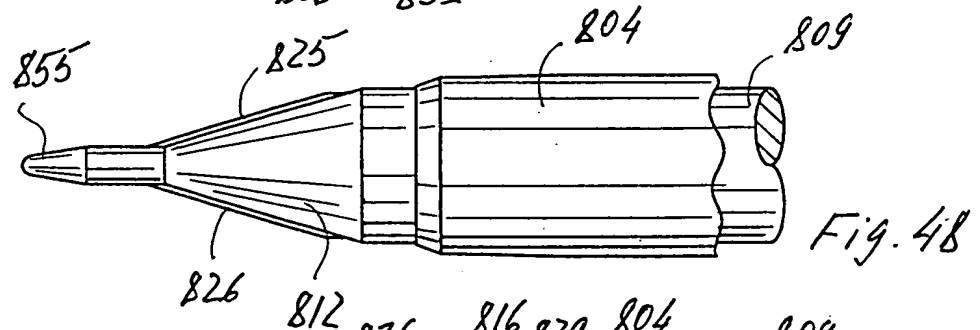
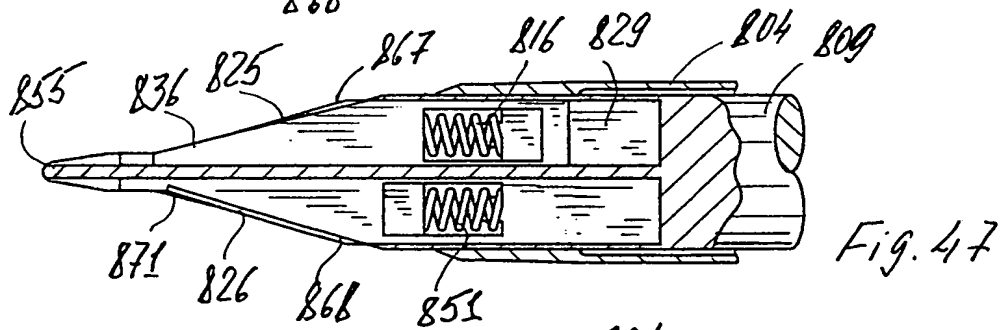
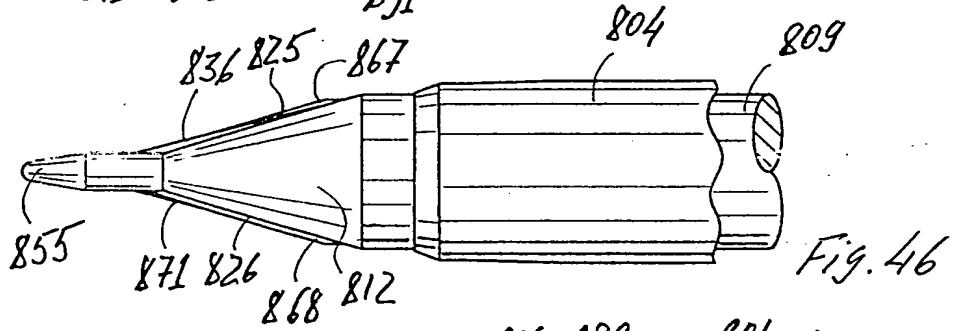
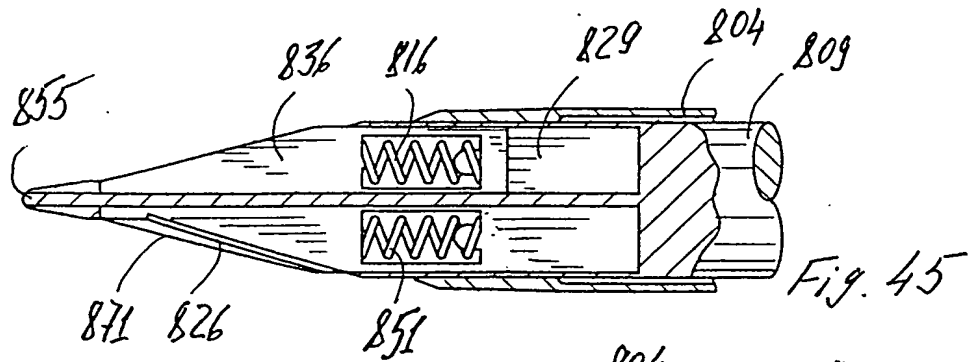


Fig. 41

12/18





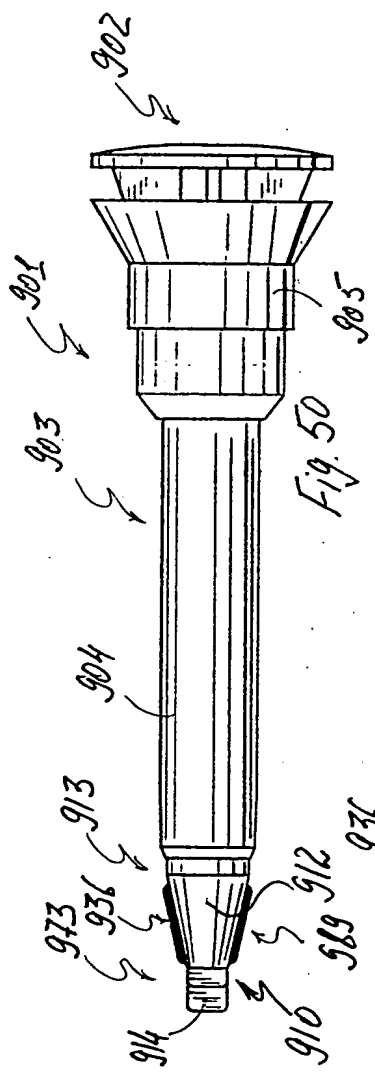


Fig. 50

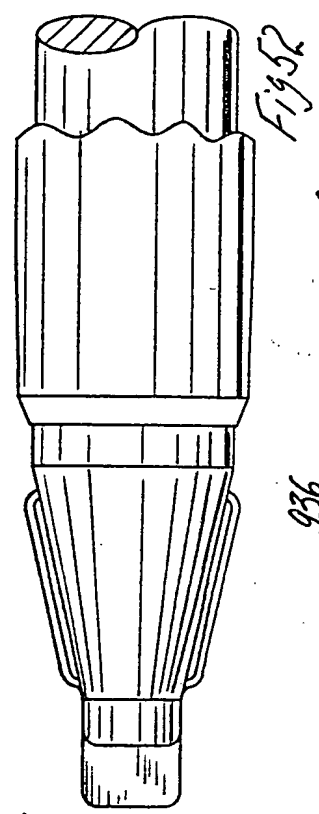


Fig. 51

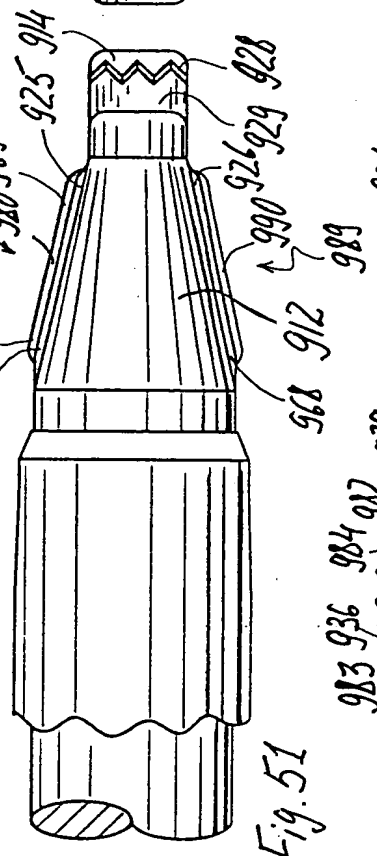


Fig. 52

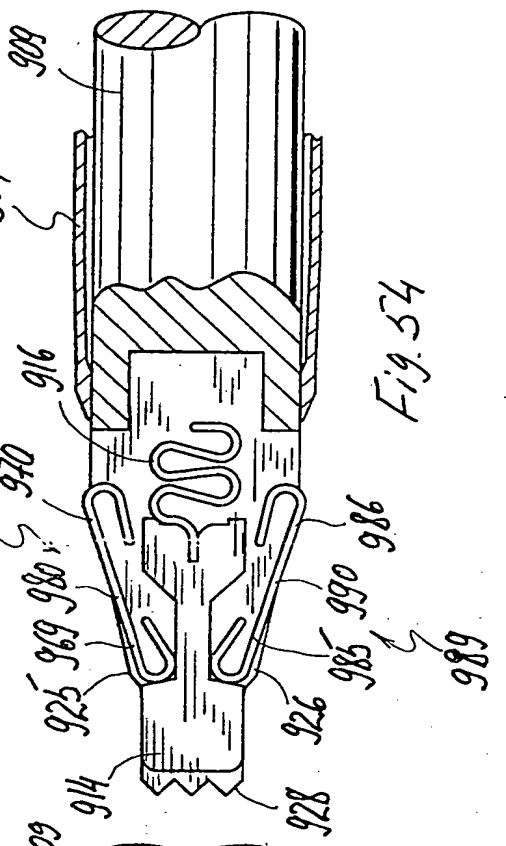


Fig. 53

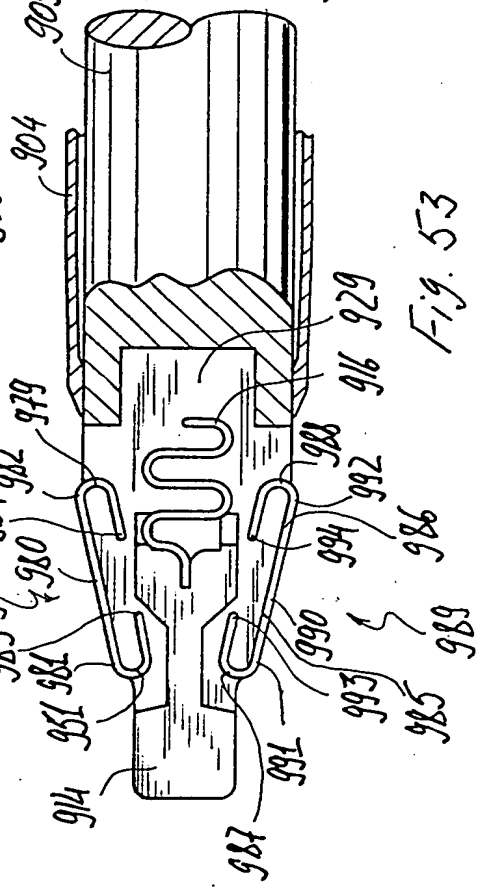
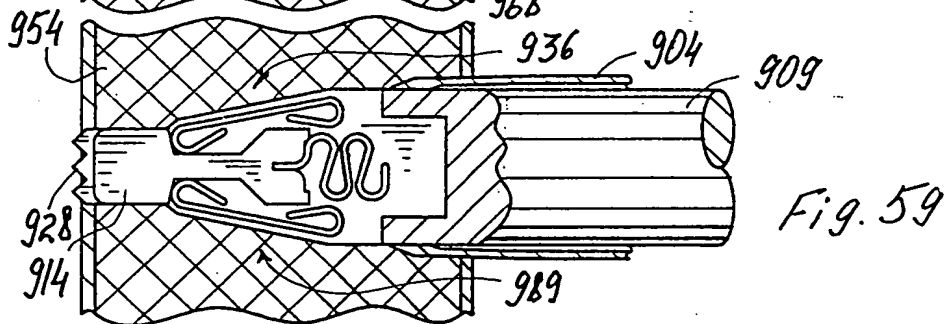
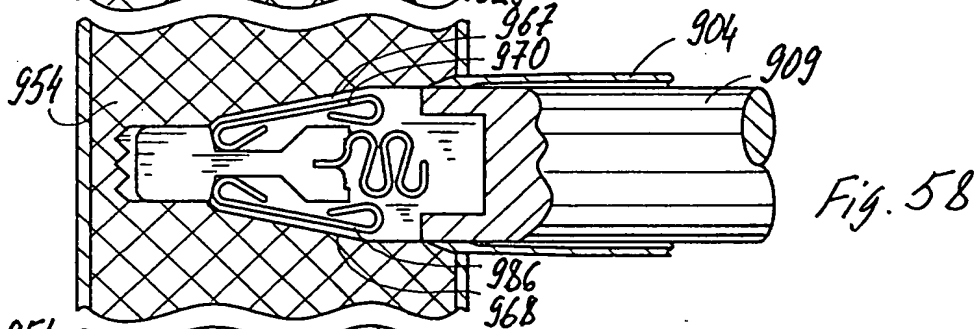
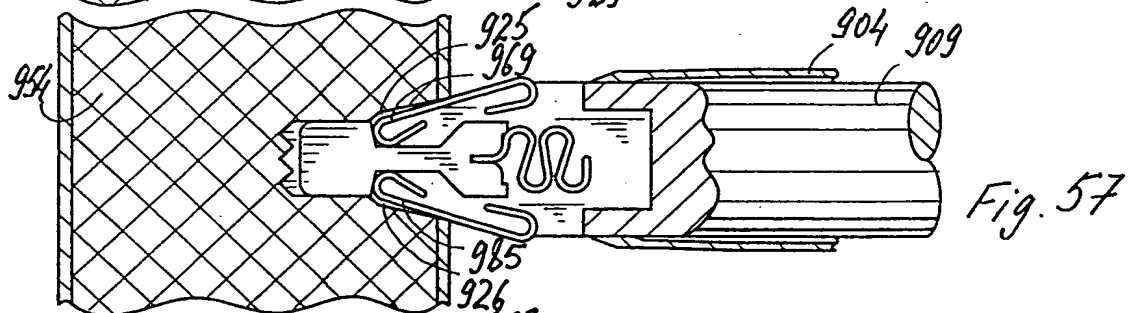
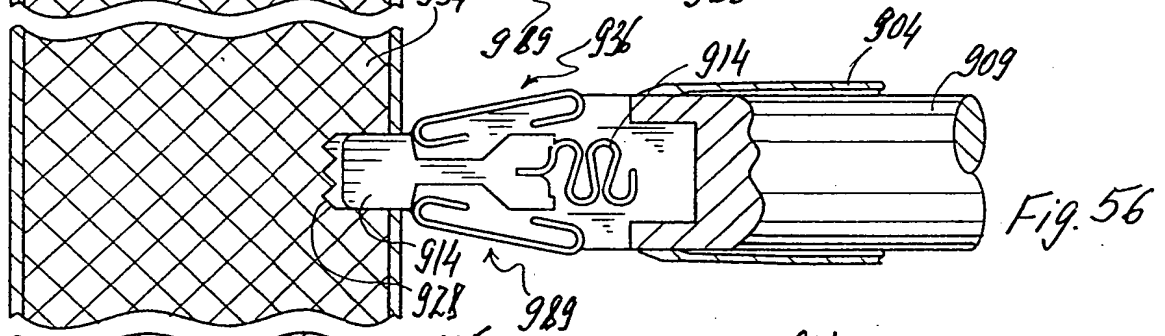
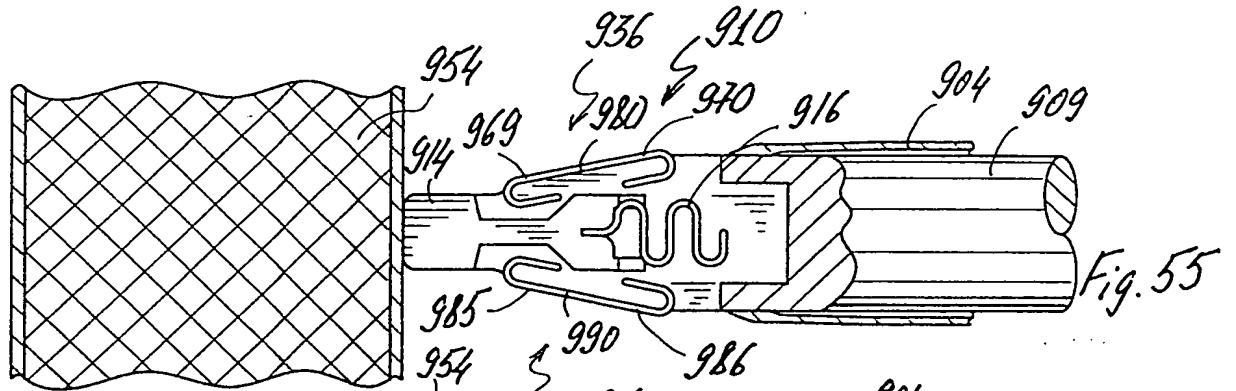
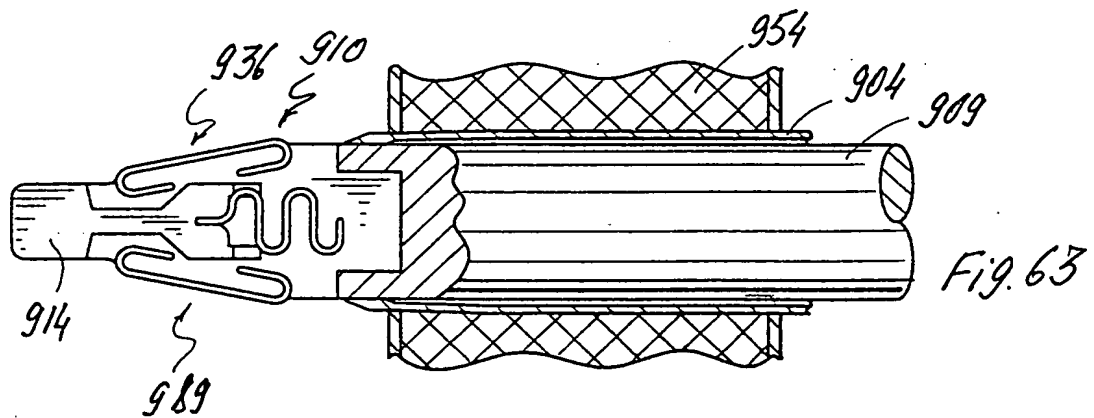
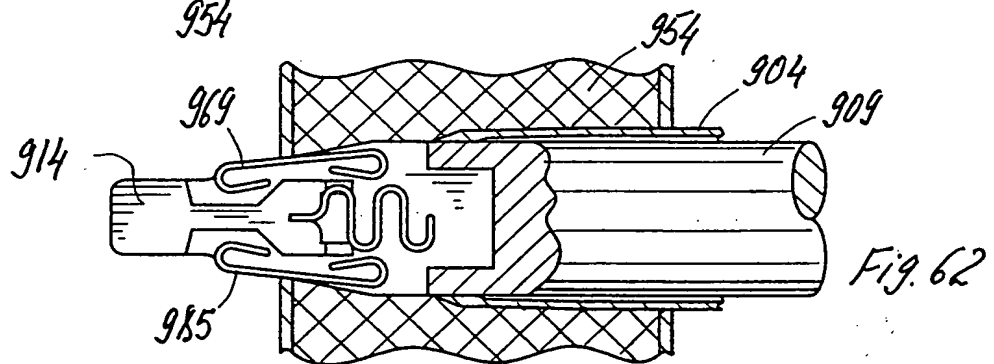
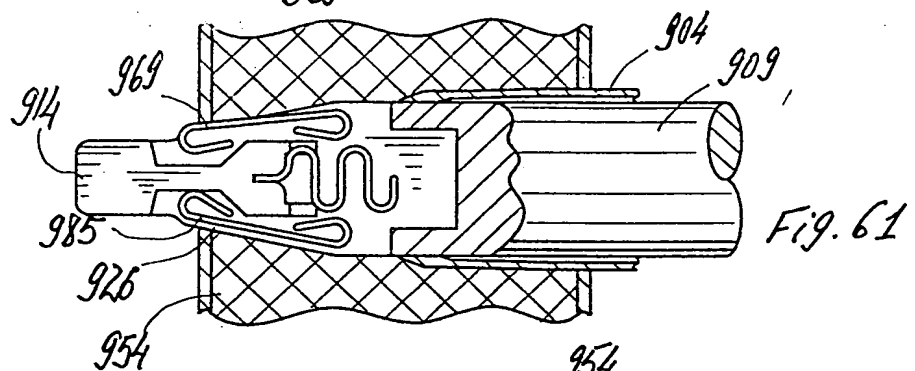
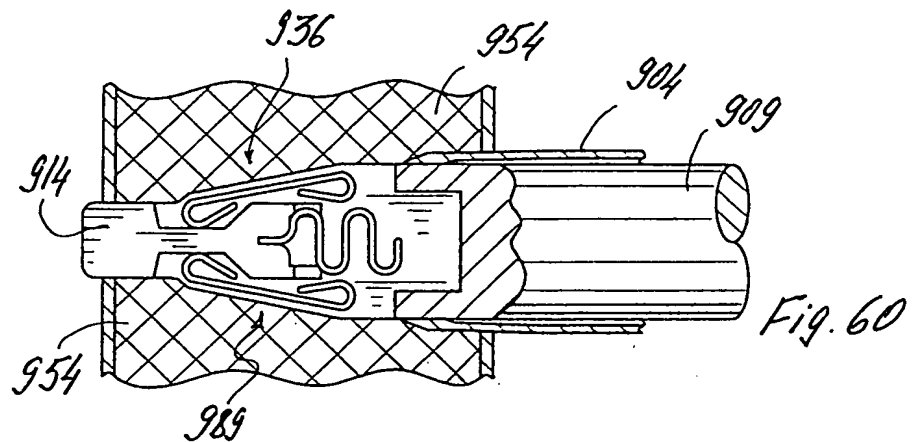
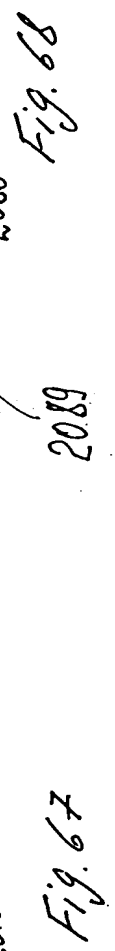
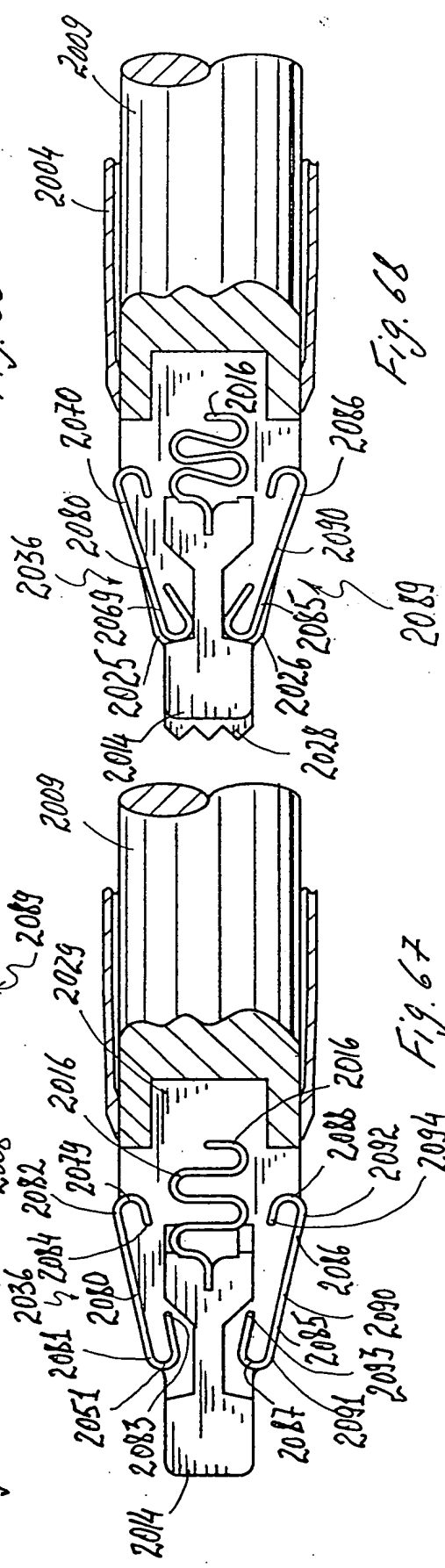
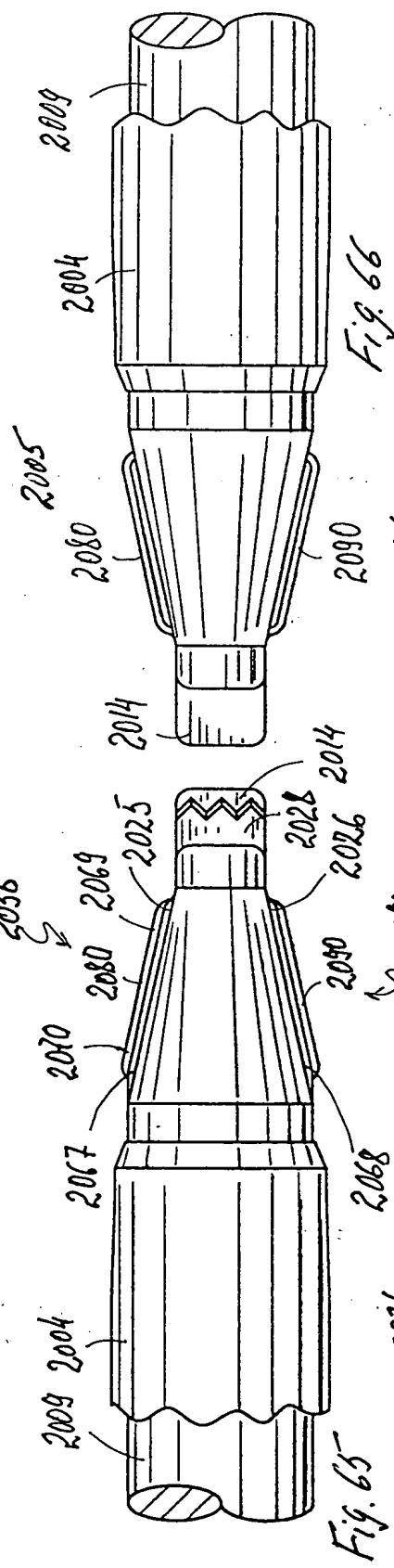
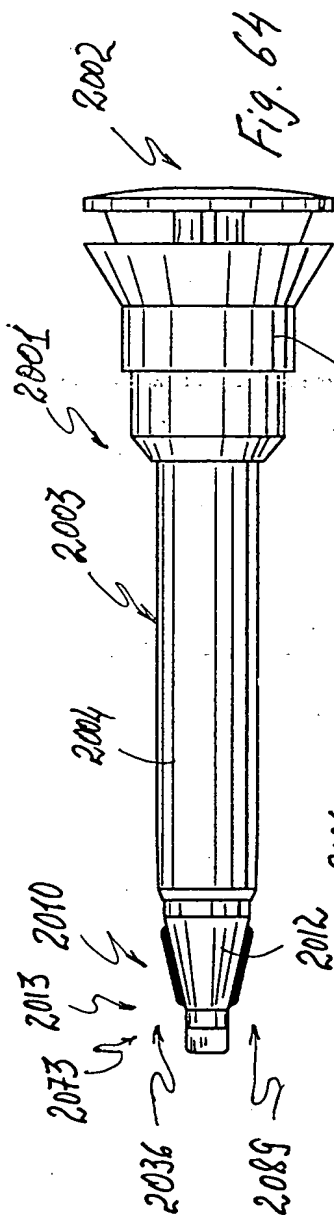


Fig. 54









18/18

